

# Wprowadzenie

W ramach tego laboratorium zapoznaliśmy się z podstawami stratnej kompresji obrazu w standardzie JPEG. Zaimplementowaliśmy uproszczony potok kompresji i dekompresji w Pythonie, używając bibliotek NumPy, SciPy (dla DCT) i OpenCV (dla konwersji kolorów). Skupiliśmy się na kluczowych krokach: transformacji do przestrzeni YCbCr, opcjonalnym podpróbkowaniu chrominancji (4:4:4 i 4:2:2), podziale na bloki 8x8, transformacji DCT, kwantyzacji (używając standardowych tabel JPEG lub tabeli jedynek) i skanowaniu zygzakowym. Celem było zrozumienie działania tych etapów i zaobserwowanie ich wpływu na jakość obrazu na wybranych fragmentach zdjęć.

## Zadania Zrealizowane

1. Implementacja Algorytmu: Napisaliśmy funkcje `compress_jpeg` i `decompress_jpeg` realizujące uproszczony potok JPEG. Implementacja obejmuje:

- ' Konwersję RGB do YCbCr.
- ' Podpróbkowanie chrominancji 4:4:4 (bez zmian) i 4:2:2 (poziome).
- ' Podział na bloki 8x8.
- ' Dwuwymiarowe DCT i IDCT na blokach (z centrowaniem danych +/- 128).
- ' Kwantyzację i dekwantyzację z użyciem tabel standardowych (QY\_STD, QC\_STD) lub tabeli jedynek (QN).
- ' Skanowanie Zigzag i odwrotne skanowanie Zigzag.
- ' Przechowywanie potrzebnych danych (skompresowane warstwy, kształt, ratio, tablice Q) w prostej klasie `JpegData`.

2. Analiza Fragmentów Obrazów:

- ' Wybraliśmy 4 różne obrazy testowe.
- ' Z każdego obrazu wyciąliśmy po 4 fragmenty 128x128 pikseli, reprezentujące różne obszary (np. gładkie tło, krawędzie, tekstury, obszary o zmiennym kolorze/jasności).
- ' Dla każdego fragmentu przeprowadziliśmy kompresję i dekompresję, testując 4 kombinacje opcji:
  - ' 4:4:4, kwantyzacja jedynekami (minimalna strata, referencja).
  - ' 4:2:2, kwantyzacja jedynekami (wpływ samego subsamplingu).
  - ' 4:4:4, kwantyzacja standardowa (wpływ kwantyzacji DCT).
  - ' 4:2:2, kwantyzacja standardowa (pełny uproszczony JPEG).
- ' Wygenerowaliśmy obrazy porównawcze (oryginał vs. rekonstrukcja) dla każdej kombinacji i fragmentu, w tym oryginalne fragmenty dla łatwiejszego porównania.
- ' Opisaliśmy obserwacje i wyciągnęliśmy wnioski.

# Implementacja Ą Kluczowe Kroki

Nasz uproszczony JPEG dzia%a wed%ug nast"puj\$cych krok–w:

## 1. Kompresja:

- ' Obraz wej!ciowy RGB jest konwertowany do przestrzeni YCbCr (jasno!& Y, r–#nice koloru Cb i Cr). U#ywamy do tego `cv2.cvtColor`.
- ' Opcjonalnie, warstwy chrominancji (Cb, Cr) s\$ podpr–bkowywane w poziomie (tryb 4:2:2), redukuj\$ ich szeroko!& o po%ow" (`Cb = Cb[:, ::2]`). W trybie 4:4:4 ten krok jest pomijany.
- ' Ka#da warstwa (Y, Cb, Cr) jest dzielona na bloki 8x8 pikseli.
- ' Dla ka#dego bloku:
- ' Warto!ci pikseli s\$ przesuwane o -128 (centrowanie wok–%zera).
- ' Wyliczana jest transformata DCT (`sci.py.fftpack.dct`).
- ' Wsp–%czynniki DCT s\$ kwantyzowane przez dzielenie przez odpowiedni\$ tablic" kwantyzacji (`QY` lub `QC`, standardow\$ lub jedynkow\$) i zaokr\$glanie do najbli#szej liczby ca%kowitej.
- ' Skwantowane wsp–%czynniki s\$ uk%adane w wektor 1D za pomoc\$ skanowania Zigzag.
- ' Wynikowe wektory dla ka#dej warstwy, wraz z metadanymi (oryginalny kszta%t, ratio, u#yte tablice Q), s\$ zapisywane w obiekcie `JpegData`.

## 2. Dekompresja:

- ' Z obiektu `JpegData` odczytywane s\$ wektory Y, Cb, Cr i metadane.
- ' Dla ka#dego wektora (reprezentuj\$cego jeden blok):
- ' Wektor jest przekszta%cany z powrotem do macierzy 8x8 za pomoc\$ odwrotnego skanowania Zigzag.
- ' Macierz jest dekwantyzowana przez mno#enie przez odpowiedni\$ tablic" kwantyzacji (`QY` lub `QC`).
- ' Stosowana jest odwrotna transformata DCT (`sci.py.fftpack.idct`).
- ' Do wynik–w dodawane jest 128 (powr–t do zakresu jasno!ci).
- ' Zrekonstruowane bloki 8x8 s\$ sk%adane w pe%ne warstwy Y, Cb, Cr.
- ' Je!li u#yto podpr–bkowania 4:2:2, warstwy Cb i Cr s\$ upsamplowane w poziomie (podwojenie kolumn przez `np.repeat`).
- ' Warstwy Y, Cb, Cr s\$ %\$czone i konwertowane z powrotem do przestrzeni RGB (`cv2.cvtColor`), z przyci"ciem warto!ci do zakresu [0, 255].

# Analiza Wynik–w i Obserwacje

Przeprowadzili!my kompresj" i dekompresj" dla wybranych fragment–w obraz–w, testuj\$ 4 warianty ustawie). Poni#ej prezentujemy wybrane pary obraz–w (orygina% fragmentu vs. rekonstrukcja), kt–re dobrze ilustruj\$ kluczowe efekty. Wszystkie wygenerowane obrazy

porównawcze oraz oryginalne fragmenty znajdują się w katalogu [jpeg\\_results/](#).

## Przykład 1: Porównanie wpływu podpróbkowania chrominancji (Obraz 1, Fragment 1)

Fragment ten przedstawia [np. fragment nieba z delikatnymi chmurami]. Porównujemy warianty ze standardową kwantyzacją (**StdQ**), aby zobaczyć, jak wprowadzanie przez samo podpróbkowanie 4:2:2.

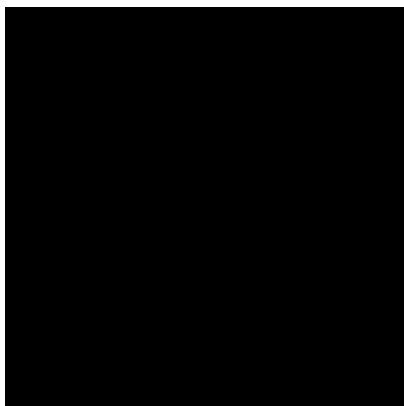


Figure 1. Oryginalny fragment ([jpeg\\_results/1\\_Frag1\\_Original.png](#))

Figure 2. Rekonstrukcja: 4:4:4, StdQ ([jpeg\\_results/1\\_Frag1\\_444\\_StdQ.png](#))

Figure 3. Rekonstrukcja: 4:2:2, StdQ ([jpeg\\_results/1\\_Frag1\\_422\\_StdQ.png](#))

¥ Obserwacje (Obraz 1, Fragment 1):

¥ Wariant **4:4:4, StdQ** (pełny obraz) pokazuje artefakty typowe dla standardowej kwantyzacji, takie jak [np. lekkie rozmycie i delikatne artefakty blokowe]. Kolory są jednak dobrze odwzorowane.

¥ Wariant **4:2:2, StdQ** (prawy obraz), w porównaniu do **4:4:4, StdQ**, dodatkowo wprowadza [np. niewielkie "rozlanie" się kolorów na subtelnych przejściach tonalnych chmur, co jest efektem redukcji informacji o kolorze]. Artefakty kwantyzacji są porównywalne.

## Przykład 2: Demonstracja najsilniejszych artefaktów (Obraz 1, Fragment 4)

Fragment ten charakteryzuje się [np. obszarem z drobnymi, kontrastowymi detalami i teksturowaną powierzchnią]. Porównujemy wersję referencyjną (minimalna strata) z wersją poddaną pełnej kompresji (podpróbkowanie i standardowa kwantyzacja).

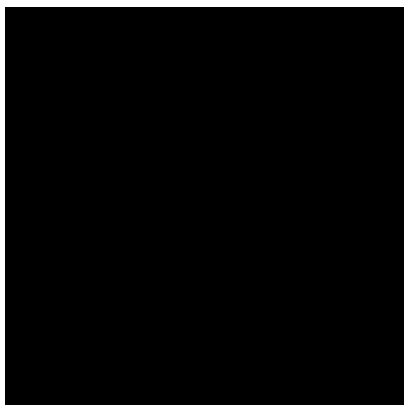


Figure 4. Oryginalny fragment (jpeg\_results/1\_Frag4\_Original.png)

Figure 5. Rekonstrukcja: 4:4:4, OnesQ (jpeg\_results/1\_Frag4\_444\_OnesQ.png)

Figure 6. Rekonstrukcja: 4:2:2, StdQ (jpeg\_results/1\_Frag4\_422\_StdQ.png)

¥ Obserwacje (Obraz 1, Fragment 4):

¥ Wariant 4:4:4, OnesQ (!rodkowy obraz) jest niemal identyczny z orygina%em, co potwierdza minimalne straty samych transformacji.

¥ Wariant 4:2:2, StdQ (prawy obraz) prezentuje skumulowany efekt strat. Wyra\*nie wida& [np. znacz\$ce rozmycie drobnych detali, pojawienie si" artefakt–w blokowych oraz "przeciekanie" kolor–w na kraw"dziach kontrastowych element–w]. Jako!& jest wyra\*nie ni#sza od orygina%u i wersji referencyjnej.

### Przyk!ad 3: Analiza wp!ywu kwantyzacji na obszar z tekstur" (Obraz 1, Fragment 2)

Ten fragment zawiera [np. fragment !ciany z cegie% lub innej powierzchni o wyra\*nej, ale regularnej fakturze]. Sprawdzamy, jak standardowa kwantyzacja wp%ywa na odbi–r takich obszar–w, przy zachowaniu pe%nej informacji o kolorze (4:4:4).

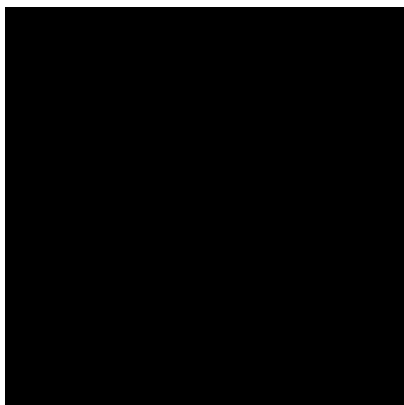


Figure 7. Oryginalny fragment (jpeg\_results/1\_Frag2\_Original.png)

Figure 8. Rekonstrukcja: 4:4:4, OnesQ (jpeg\_results/1\_Frag2\_444\_OnesQ.png)

Figure 9. Rekonstrukcja: 4:4:4, StdQ (jpeg\_results/1\_Frag2\_444\_StdQ.png)

¥ Obserwacje (Obraz 1, Fragment 2):

¥ Wariant 4:4:4, OnesQ (!rodkowy) dobrze oddaje oryginaln\$ tekstur".

¥ Wariant 4:4:4, StdQ (prawy) w por-wnaniu do OnesQ pokazuje, #e [np. tekstura sta%a si" bardziej "rozmyta", mniej ostra, a na kraw"dziach poszczeg-lynych element-w tekstury mog\$ pojawi& si" delikatne artefakty blokowe]. Utrata detali wynikaj\$ca z kwantyzacji wsp-%czynnik-w wysokich cz"stotliwo!ci jest tu widoczna, mimo zachowania pe%nej informacji o kolorze.

## Podsumowanie / Wnioski

Implementacja i testy uproszczonego algorytmu JPEG pozwoli%y zaobserwowa& kluczowe aspekty tej metody kompresji stratnej:

1. Podstawy dzia!ania: Potok JPEG wykorzystuje transformacj" do przestrzeni YCbCr, co pozwala oddzieli& informacj" o jasno!ci (na kt-r\$ oko jest bardziej czu%e) od informacji o kolorze. Kluczowe straty wprowadzane s\$ przez podpr-bkowanie chrominancji i kwantyzacj" wsp-%czynnik-w DCT.
2. Podpr-bkowanie chrominancji (4:2:2 vs 4:4:4): Redukcja informacji o kolorze (4:2:2) jest najbardziej zauwa#alna na ostrych kraw"dziach mi"dzy r-#nymi kolorami, gdzie mo#e powodowa& "przeciekanie" barw. Na obszarach o %agodnych przejl!ciach tonalnych lub g%adkich t%ach jej wp%yw jest znacznie mniejszy i cz"sto niezauwa#alny. Pozwala jednak na redukcj"

danych dla warstw Cb i Cr o 50%.

3. Kwantyzacja DCT: Zastąpienie dokładnych współczynników DCT wartościami całkowitymi (po podzieleniu przez tablicę  $Q$ ) jest głównym źródłem utraty informacji o drobnych detalach i teksturach (wysokie częstotliwości w bloku DCT). Prowadzi to do rozmycia i pojawienia się artefaktów blokowych (widoczna siatka 8x8), szczególnie przy użyciu standardowych tabel kwantyzacji. Użycie tabeli jedynek minimalizuje ten efekt, ale kosztem znacznie mniejszej kompresji (bo wartość współczynników pozostaje niezerowa).
4. Kombinacja metod: Największe artefakty i utrata jakości występują przy jednoczesnym zastosowaniu podpróbkowania chrominancji (4:2:2) i silnej kwantyzacji (standardowe tablice). Jest to jednak typowy tryb pracy JPEG, oferujący najlepszy kompromis między rozmiarem pliku a jakością wizualną dla naturalnych obrazów.
5. Ograniczenia: Nasz algorytm jest uproszczony (pomija m.in. kodowanie Huffmana/arytmetyczne dla skwantyzowanych współczynników), więc realny stopień kompresji byłby inny. Zakładaliśmy również, że wymiary fragmentów są wielokrotnością 8, co uprościło obsługę bloków.